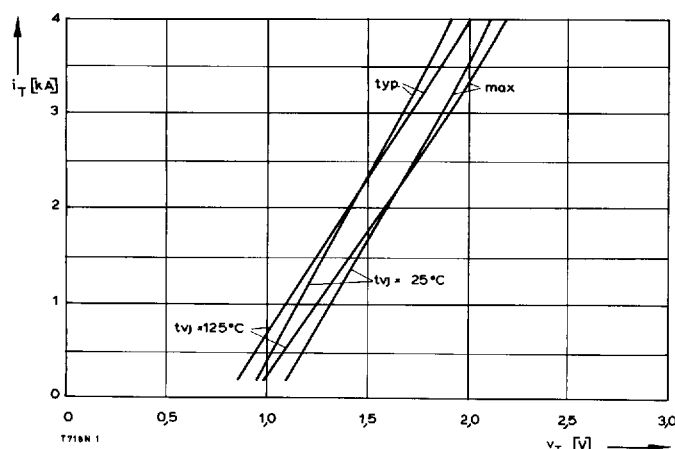
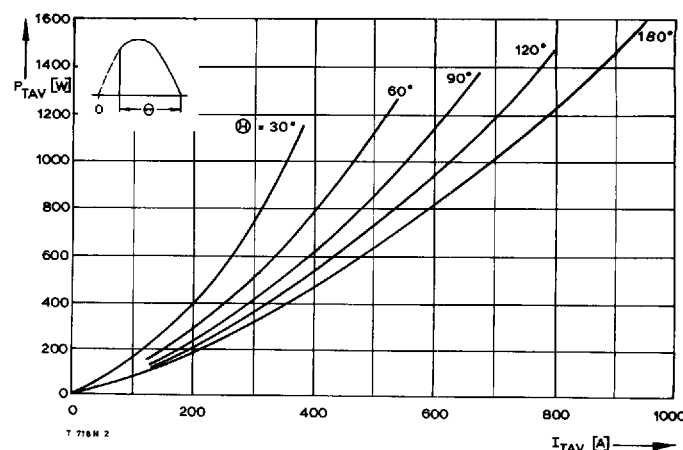


Type Series/Type range	T 718 N/T 719 N	400*	600	800	1000	1100	1200	1400	1600*
Elektrische Eigenschaften	Electrical properties								
Höchstzulässige Werte	Maximum permissible values								
V_{DRM} , V_{RRM}	Periodische Vorwärts- und Rückwärts-Spitzenperrspannung	repetitive peak forward off-state and reverse voltages							400...1600 V
I_{TRMSM}	Effektiver Durchlaßstrom	RMS on-state current							1500 A
I_{TAVM}	Dauergrenzstrom	average on-state current	$t_C = 85^\circ\text{C}$						719 A
I_{TRM}	Periodischer Spitzenstrom	repetitive peak on-state current	$t_C = 64^\circ\text{C}$						955 A
I_{TSM}	Stoßstrom-Grenzwert	surge current							9 kA
$\int i^2 dt$	Grenzlastintegral	$\int i^2 dt$ -value	$t_p = 10 \text{ ms}, t_{vj} \leq 45^\circ\text{C}$						14,5 kA
			$t_p = 10 \text{ ms}, t_{vj} = t_{vj \max}$						12,5 kA
			$t_p = 10 \text{ ms}, t_{vj} \leq 45^\circ\text{C}$						$1,051 \cdot 10^6 \text{ A}^2\text{s}$
			$t_p = 10 \text{ ms}, t_{vj} = t_{vj \max}$						$0,781 \cdot 10^6 \text{ A}^2\text{s}$
$(di/dt)_{cr}$	Kritische Stromsteilheit	critical rate of rise of on-state current	nicht periodisch/non repetitive						600 A/ μ s
			Dauerbetrieb/continuous operation, $i_{TM} = 3 \text{ kA}$, $v_L = 10 \text{ V}$, $i_g = 1 \text{ A}$, $di_g/dt = 1 \text{ A}/\mu\text{s}$						120 A/ μ s
$(dv/dt)_{cr}$	Kritische Spannungssteilheit	critical rate of rise of off-state voltage	$v_D = 67\% V_{DRM}, t_{vj} = t_{vj \max}$	C					400 V/ μ s
			5. Kennbuchstabe/5th letter	F					1000 V/ μ s
Charakteristische Werte	Characteristic values								
V_T	Obere Durchlaßspannung	max. on-state voltage	$t_{vj} = 25^\circ\text{C}, i_T = 3 \text{ kA}$						1,9 V
$V_{(TO)}$	Schleusenspannung	threshold voltage	$t_{vj} = t_{vj \max}$						0,85 V
r_T	Ersatzwiderstand	slope resistance	$t_{vj} = t_{vj \max}$						0,35 m Ω
V_{GT}	Obere Zündspannung	max. gate trigger voltage	$t_{vj} = 25^\circ\text{C}, v_D = 6 \text{ V}, R_A = 5 \Omega$						1,5 V
I_{GT}	Oberer Zündstrom	max. gate trigger current	$t_{vj} = 25^\circ\text{C}, v_D = 6 \text{ V}, R_A = 5 \Omega$						250 mA
	Unterer Zündstrom	min. gate trigger current	$t_{vj} = t_{vj \max}, v_D = 6 \text{ V}, R_A = 5 \Omega$						10 mA
I_H	Oberer Haltestrom	max. holding current	$t_{vj} = 25^\circ\text{C}, v_D = 6 \text{ V}, R_A = 5 \Omega$						300 mA
I_L	Oberer Einraststrom	max. latching current	$t_{vj} = 25^\circ\text{C}, v_D = 6 \text{ V}, R_{GK} \geq 10 \Omega$						1,5 A
i_D, i_R	Oberer Vorwärts- und Rückwärts-Sperrstrom	max. forward off-state and reverse currents	$i_G = 1 \text{ A}, di_g/dt = 1 \text{ A}/\mu\text{s}, t_g = 20 \mu\text{s}$						80 mA
t_{gd}	Oberer Zündverzug	max. gate controlled delay time	$t_{vj} = t_{vj \max}, v_D = V_{DRM} (v_R = V_{RRM})$						4 μ s
t_q	Typische Freiwerdezeit	typical turn-off time	$i_G = 1 \text{ A}, di_g/dt = 1 \text{ A}/\mu\text{s}$						250 μ s
C_{null}	Typische Nullkapazität	typical zero capacitance	Prüfbedingungen/test conditions 3.4.3.4						7,5 nF
Thermische Eigenschaften	Thermal properties								
R_{thJC}	Innerer Wärmewiderstand für beidseitige Kühlung	thermal resistance, junction to case for two-sided cooling	$\Theta = 180^\circ\text{el}, \sinus$						$\leq 0,038 \text{ }^\circ\text{C/W}$
			DC						$\leq 0,036 \text{ }^\circ\text{C/W}$
$R_{thJC(A)}$	für anodenseitige Kühlung	for anode-sided cooling	$\Theta = 180^\circ\text{el}, \sinus$						$\leq 0,0675 \text{ }^\circ\text{C/W}$
			DC						$\leq 0,065 \text{ }^\circ\text{C/W}$
$R_{thJC(K)}$	für kathodenseitige Kühlung	for cathode-sided cooling	$\Theta = 180^\circ\text{el}, \sinus$						$\leq 0,082 \text{ }^\circ\text{C/W}$
			DC						$\leq 0,08 \text{ }^\circ\text{C/W}$
R_{thCK}	Wärmewiderstand für einen Übergang zwischen Gehäuse und Kühlkörper	single sided thermal resistance, case to heatsink							0,01 $^\circ\text{C/W}$
									125°C
$t_{vj \max}$	Höchstzul. Sperrsichttemperatur	max. junction temperature							-40°C...+125°C
$t_{vj op}$	Betriebstemperatur	operating temperature							-40°C...+140°C
t_{sig}	Lagertemperatur	storage temperature							
Mechanische Eigenschaften	Mechanical properties								
G	Gewicht T 718 N/T 719 N	weight T 718 N/T 719 N							160 g/270 g
F	Anpreßkraft	clamping force							12...15 kN
	Maßbilder T 718 N/T 719 N	outlines T 718 N/T 719 N							Seite/page 240
	Kriechstrecke T 718 N/T 719 N	creepage distance T 718 N/T 719 N							17 mm/25 mm
	Feuchtekategorie	humidity classification							C
	Schüttelfestigkeit	vibration resistance	DIN 40040						5x9,81 m/s ²
			$f = 50 \text{ Hz}$						

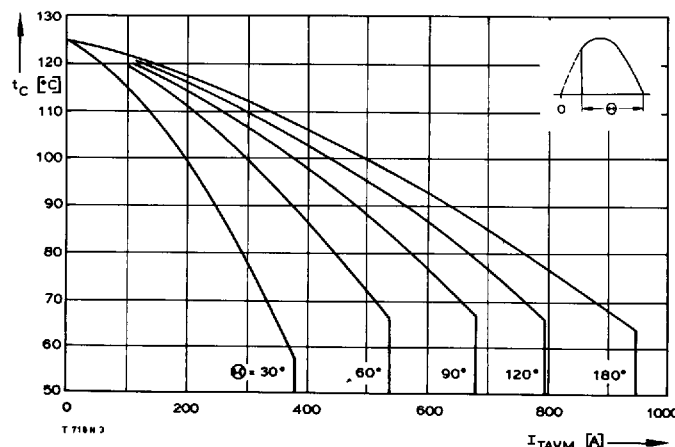
* Für größere Stückzahlen bitte Liefertermin erfragen/Delivery for larger quantities on request



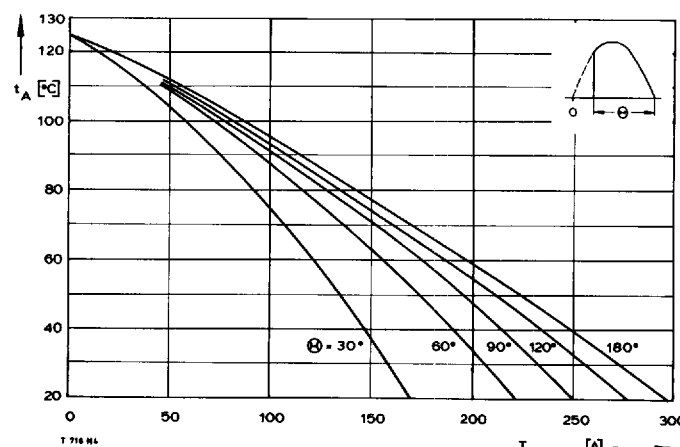
Bild/Fig. 1
Durchlaßkennlinien/On-state characteristics



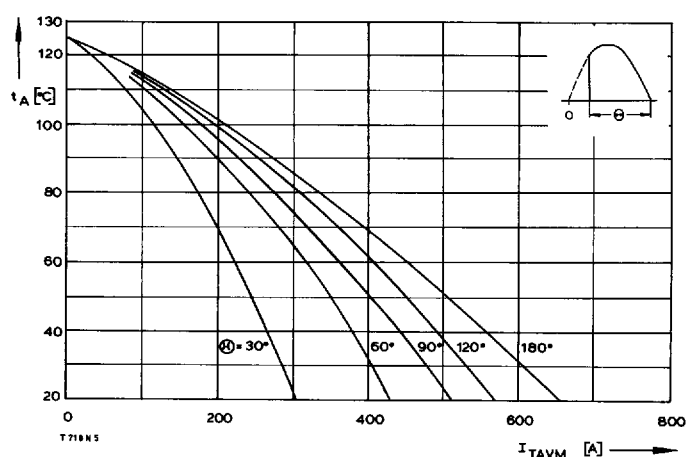
Bild/Fig. 2
Durchlaßverlustleistung P_{TAV} /On-state power loss P_{TAV}
Parameter: Stromflußwinkel Θ /current conduction angle Θ



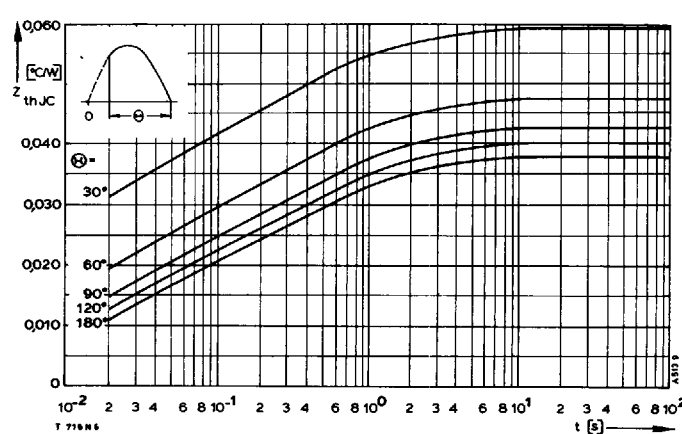
Bild/Fig. 3
Höchstzulässige Gehäusetemperatur t_C
Maximum allowable case temperature t_C



Bild/Fig. 4
Höchstzulässige Kühlmitteltemperatur t_A bei Betrieb auf Kühlkörper K 0,05 F,
Luftselbstkühlung.
Maximum allowable cooling medium temperature t_A , heatsink type K 0.05 F,
natural cooling.



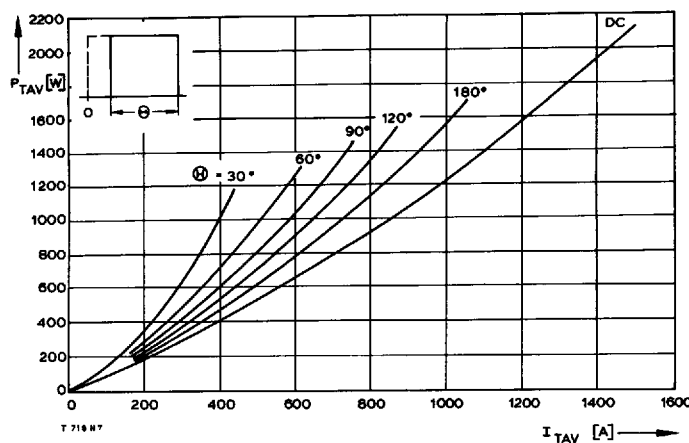
Bild/Fig. 5
Höchstzulässige Kühlmitteltemperatur t_A bei verstärkter Luftkühlung, $V_L = 120 \text{ l/s}$,
auf Kühlkörper K 0,05 F.
Maximum allowable cooling medium temperature t_A , at forced cooling, $V_L = 120 \text{ l/s}$,
on heatsink type K 0.05 F.



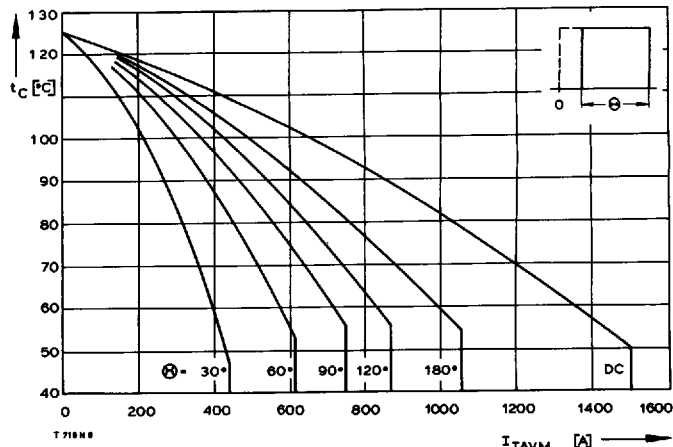
Bild/Fig. 6
Transienter innerer Wärmewiderstand $Z_{th,JC}$, beidseitige Kühlung
Transient thermal impedance, junction to case, $Z_{th,JC}$, at two-sided cooling

T 718 N T 719 N

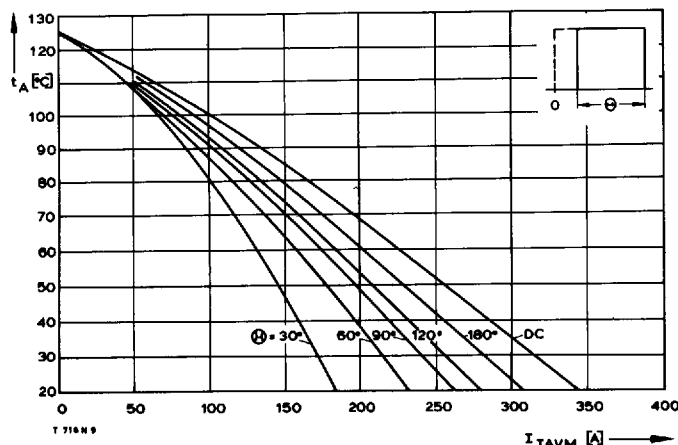
T-25-20



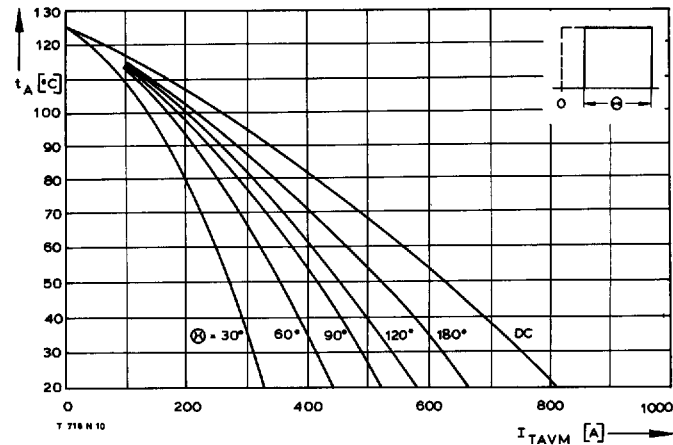
Bild/Fig. 7
Durchlaßverlustleistung P_{TAV} /On-state power loss P_{TAV}
Parameter: Stromflußwinkel Θ /current conduction angle Θ



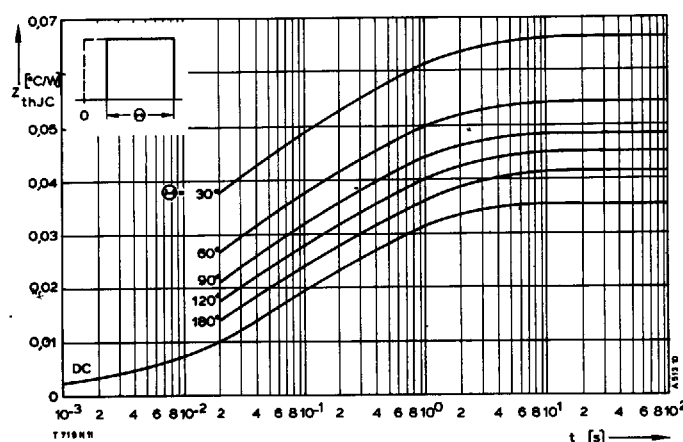
Bild/Fig. 8
Höchstzulässige Gehäusetemperatur t_c
Maximum allowable case temperature t_c



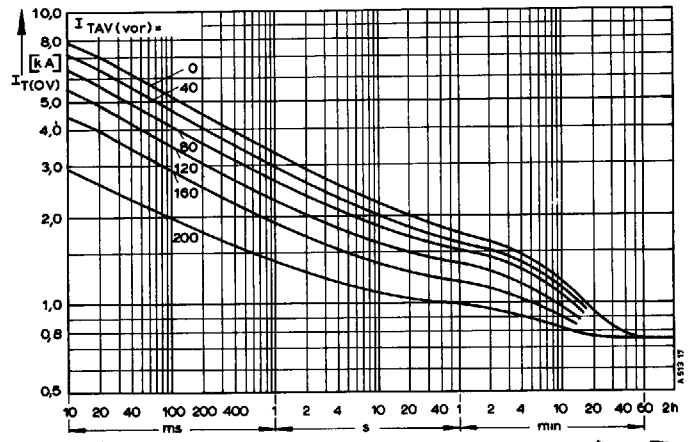
Bild/Fig. 9
Höchstzulässige Kühlmittelttemperatur t_A bei Betrieb auf Kühlkörper K 0,05 F,
Luftselbstkühlung.
Maximum allowable cooling medium temperature t_A , heatsink type K 0.05 F,
natural cooling.



Bild/Fig. 10
Höchstzulässige Kühlmittelttemperatur t_A bei verstärkter Luftkühlung, $V_L = 120$ l/s,
auf Kühlkörper K 0,05 F.
Maximum allowable cooling medium temperature t_A , at forced cooling, $V_L = 120$ l/s,
on heatsink type K 0.05 F.

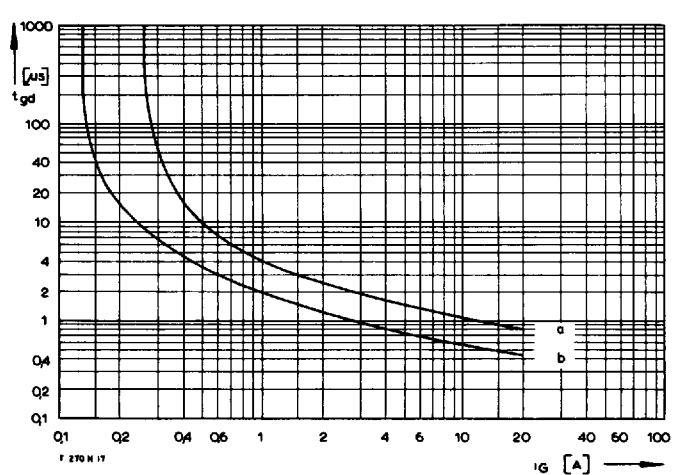
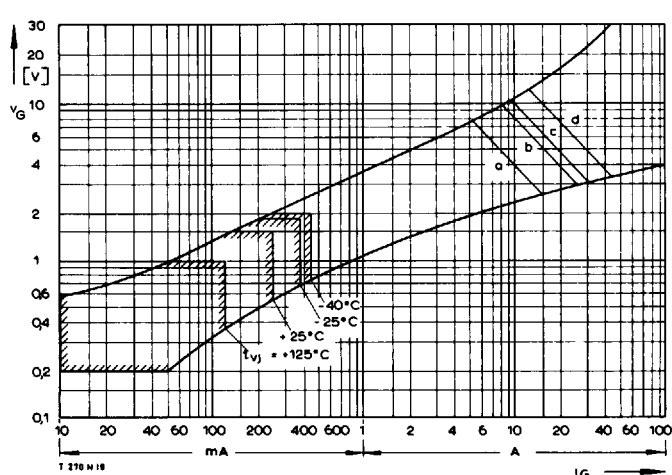
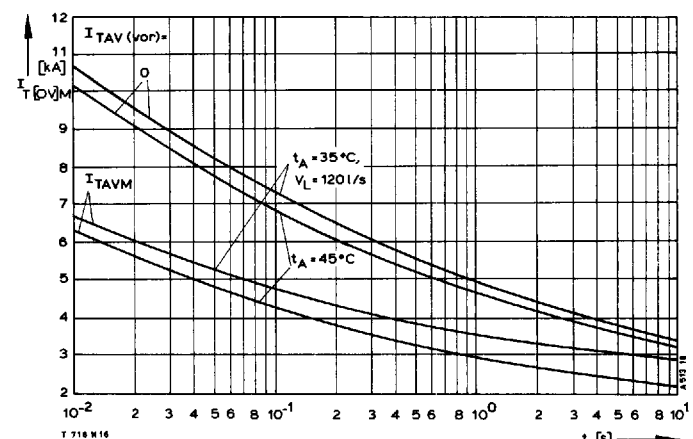
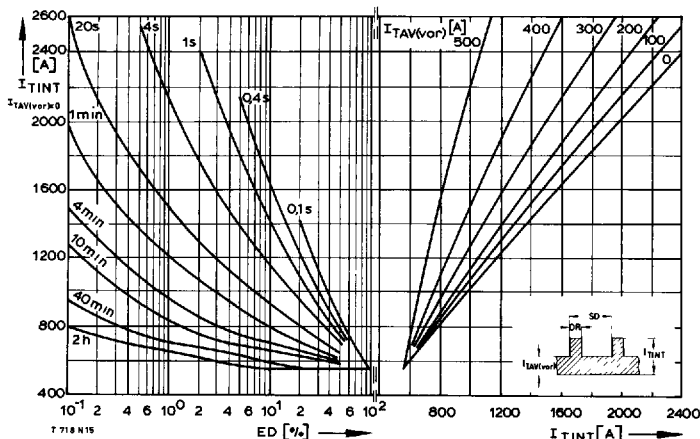
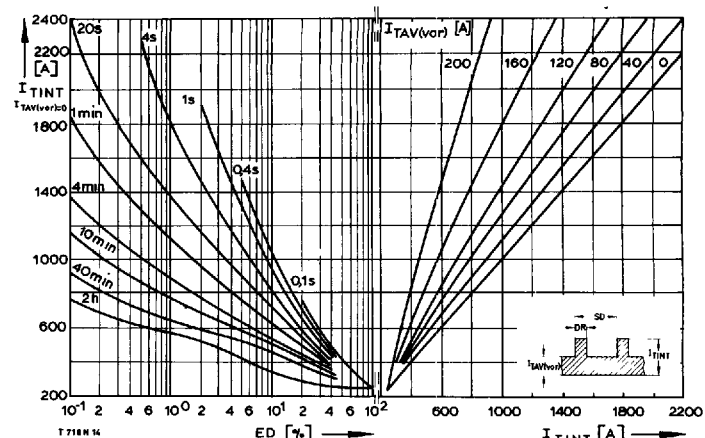
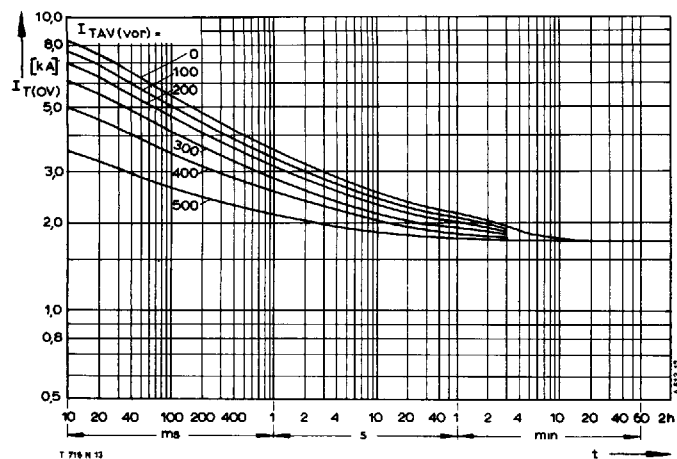


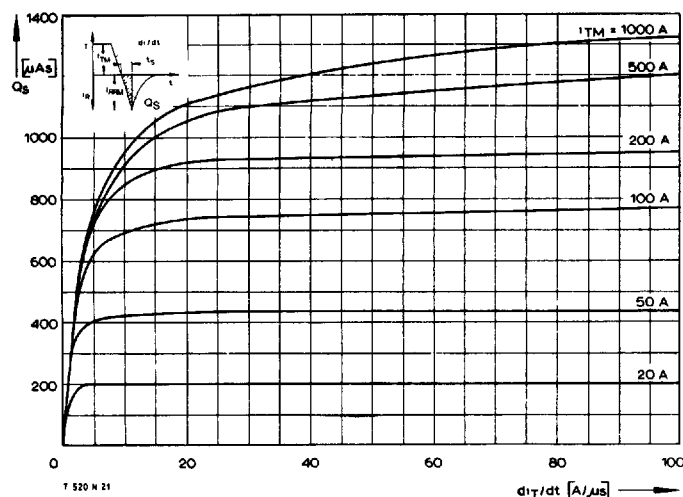
Bild/Fig. 11
Transient innerer Wärmewiderstand $Z_{(th)JC}$, beidseitige Kühlung
Transient thermal impedance, junction to case, $Z_{(th)JC}$, at two-sided cooling



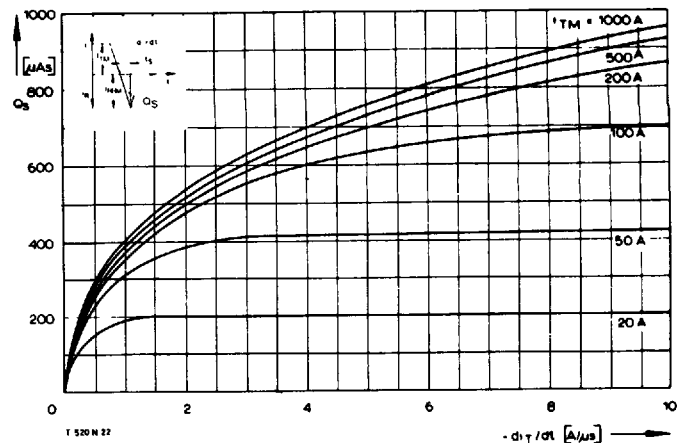
Bild/Fig. 12
Überstrom $I_{T(OV)}$ bei Luftselbstkühlung, $t_A = 45^\circ\text{C}$, Kühlkörper K 0,05 F.
Overload on-state current $I_{T(OV)}$ at natural cooling, $t_A = 45^\circ\text{C}$,
heatsink type K 0.05 F.
Parameter: Vorlaststrom/pre-load current $I_{TAV(vor)}$

T-25-20





Bild/Fig. 19
Nachlaufladung Q_s in Abhängigkeit von der abkommunizierenden Stromsteilheit
 $-di/dt$ bei $t_{vj\max}$.
Lag charge Q_s versus the rate of decay of the forward on-state current
 $-di/dt$ at $t_{vj\max}$.



Bild/Fig. 20
Ausschnitt aus Bild 19/Detail of fig. 19.